

دیاژنر، میکروفاسیس و تعیین کانی‌شناسی اولیه کربنات‌های سازند آسماری در برش کوه ریگ

امید کاک‌مم^۱، محمدحسین آدابی^{(۲)*} و عباس صادقی^۳

۱. دانشجوی کارشناسی ارشد رسوب‌شناسی و سنگ‌شناسی رسوبی، دانشکده علوم زمین، دانشگاه شهید بهشتی.

۲. استاد گروه زمین‌شناسی، دانشکده علوم زمین، دانشگاه شهید بهشتی.

۳. دانشیار گروه زمین‌شناسی، دانشکده علوم زمین، دانشگاه شهید بهشتی.

تاریخ دریافت: ۹۲/۹/۵

تاریخ پذیرش: ۹۳/۴/۱

چکیده

این مطالعه با هدف بررسی فرایندهای دیاژنتیکی، میکروفاسیس و دلایل ژئوشیمیایی تأیید کننده کانی‌شناسی اولیه نهشته‌های کربنات سازند آسماری به سن الیگو-میوسن در برش سطحی تاقدیس ریگ واقع در میدان نفتی کوه ریگ صورت گرفته است. در این منطقه سازند آسماری با ۳۶۴ متر ضخامت به صورت یک توالی از سنگ‌های کربنات نازک، متوسط و ضخیم لایه تا توده‌ای بیرون‌زدگی پیدا کرده است. بر اساس بافت‌های رسوبی، مطالعات پتروگرافی و فوناهای موجود، ۱۲ میکروفاسیس مختلف کربناته شناسایی شده است. این میکروفاسیس‌های کربنات در چهار زیرمحیط پهنه جزر و مدی، لاگون، سدی/شول و زیرمحیط دریایی باز تشکیل شده است. نبود نهشته‌های توربیدیاتی، کمربند ریفی و تغییر تدریجی رخساره‌ها نشان می‌دهد که سازند آسماری در یک محیط رمپ کربنات تک شیب (هموکلینال) نهشته شده است. فرایندهای اصلی دیاژنتیکی شناسایی شده شامل دولومیتی شدن، سیمانی شدن، میکرایتی شدن، انحلال، فشردگی و جانشینی می‌باشند. شواهد پتروگرافی و تغییرات عناصر اصلی و فرعی و مقایسه آن با محدوده‌هایی که توسط محققین مختلف برای کانی‌شناسی کلستیتی و آراگونیتی ارائه شده‌اند حاکی از کانی‌شناسی اولیه آراگونیتی برای کربنات‌های سازند آسماری است. نسبت Sr/Na بالا، کانی‌شناسی اولیه آراگونیتی را پیشنهاد می‌کند. تغییرات Sr و Na در مقابل Mn تبدیل کانی‌شناسی اولیه آراگونیتی به کلسیت طی دو مرحله ثبات دیاژنتیکی را تأیید می‌کند. رسم تغییرات نسبت Sr/Ca در مقابل Mn نشان می‌دهد که سنگ آهک‌های آسماری تحت تأثیر دیاژنر متئوریکی در یک سیستم بسته تا نیمه بسته دیاژنتیکی قرار گرفته است.

واژه‌های کلیدی: سازند آسماری، ژئوشیمی، کانی‌شناسی اولیه، فرایندهای دیاژنتیکی، تاقدیس ریگ

مقدمه

کربنات‌های آب‌های کم عمق در سازند آسماری به سن الیگو-میوسن یکی از مهمترین مخازن نفتی در حوضه زاگرس محسوب می‌شوند. برش الگوی سازند آسماری در تنگ گل ترش در استان خوزستان توسط Richardson (1924) اندازه گیری شده که شامل ۳۶۴ متر سنگ آهک، سنگ آهک دولومیتی و سنگ آهک آرژلیتی است (مطیعی ۱۳۷۴). به طور کلی، سازند آسماری به طور پیوسته بر روی میکروفاسیس‌های عمیق‌تر سازند پایده به سن پالئوسن-

الیگوسن قرار دارد و سازند گچساران به طور ناپیوسته سازند آسماری را در بیشتر مناطق می‌پوشاند. محیط رسوبی سازند آسماری به صورت یک رمپ کربناته در حاشیه اقیانوس نئوتیس در محل فعلی زاگرس چین‌خورد، فروافتادگی دزفول و زون ایده و از الیگوسن زیرین (روپلین) تا میوسن میانی (بوردیکالین) گسترش داشته است (Ehrenberg et al., 2007). در این پژوهش سعی شده است تا بر اساس مطالعات ژئوشیمیایی عنصری، ترکیب کانی‌شناسی اولیه کربنات‌های سازند

لایه تا توده‌ای همراه با لایه‌هایی از سنگ آهک مارلی و دولومیت می‌باشد (شکل ۲).

روش مطالعه

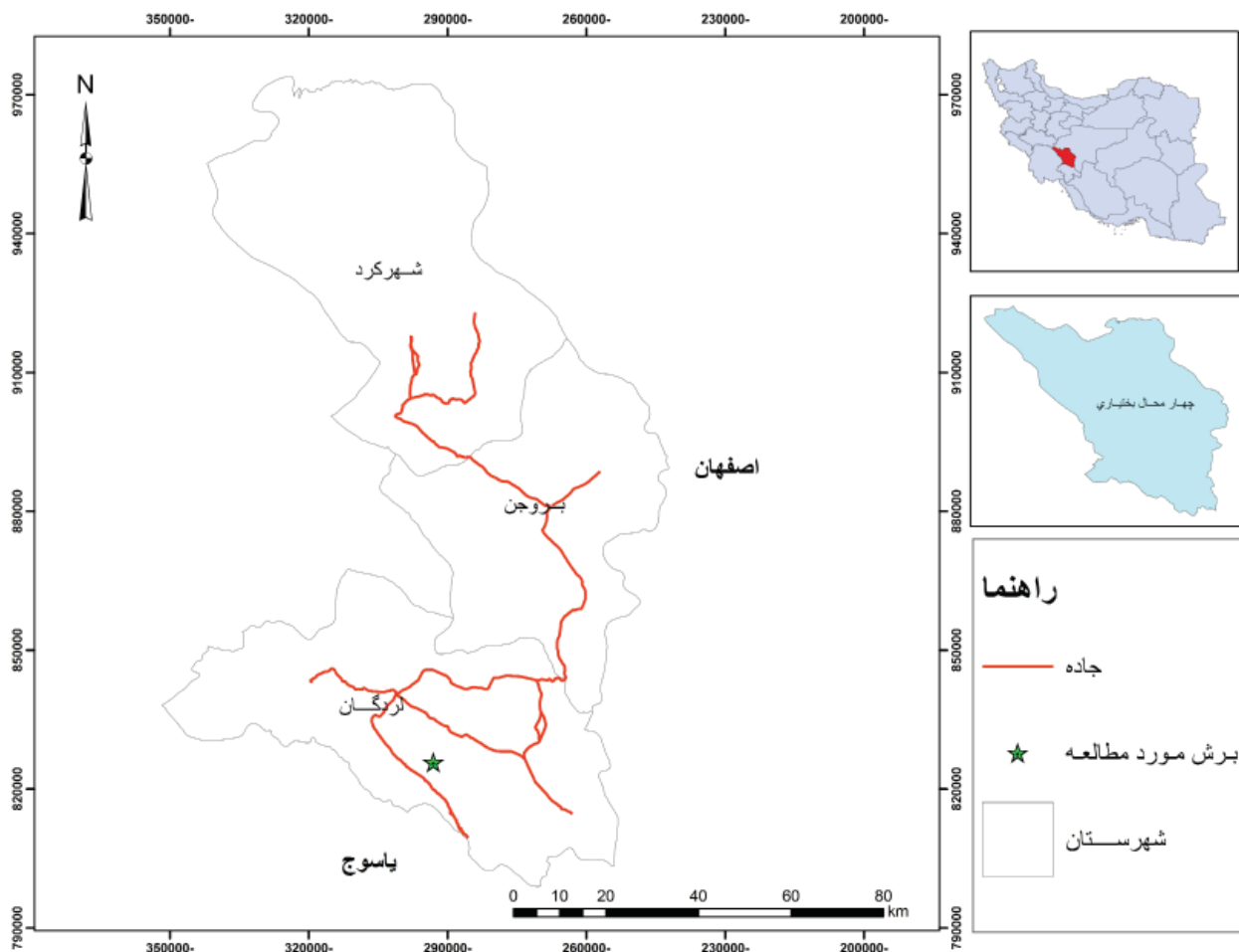
در مرحله نخست، برش فوق در صحراء مطالعه گردید و با توجه به مشخصات سگ‌شناصی و تغییرات لایه‌بندی بیش از ۱۶۴ نمونه برداشت شد. به طوری که از هر لایه یک نمونه و برای لایه‌های ضخیم تا توده‌ای حداقل دو نمونه برداشت شد و از آن‌ها مقطع نازک تهیه گردید. مقاطع نازک، پس از رنگ‌آمیزی توسط محلول آلیارین قرمز رنگ و فروسیانید پتابسیم (Dickson, 1965) جهت شناسایی کلسیت از دولومیت توسط میکروسکوپ پلازیزان مطالعه شدند. شناسایی ریزرسارهای کربناتی در ناحیه مورد مطالعه بر پایه مشاهدات ماکروسکوپی (صحرایی) و مطالعات آزمایشگاهی انجام شده است. نامگذاری سنگ‌های کربناتی بر اساس روش (Dunham, 1962) و تحلیل ریزرسارهای و محیط‌رسوبی با استفاده از روش‌های (Wilson, 1975) و Flugel (2010) انجام شده است. نامگذاری دولومیت‌ها بر اساس مطالعات Adabi (2009) صورت گرفته است.

آسماری در برش مورد نظر مشخص شود. کانی شناسی اولیه کربنات‌ها می‌تواند اطلاعاتی پیرامون شرایط محیط رسوبگذاری از قبیل دما، عمق، شوری و نیز فرایندهای دیاژنتیکی در اختیار ما قرار دهد (Adabi and Rao, 1991; Rao, 1996). علاوه بر این میکروفاسیس، محیط رسوبی و فرایندهای دیاژنتیکی نیز مورد بررسی قرار خواهد گرفت.

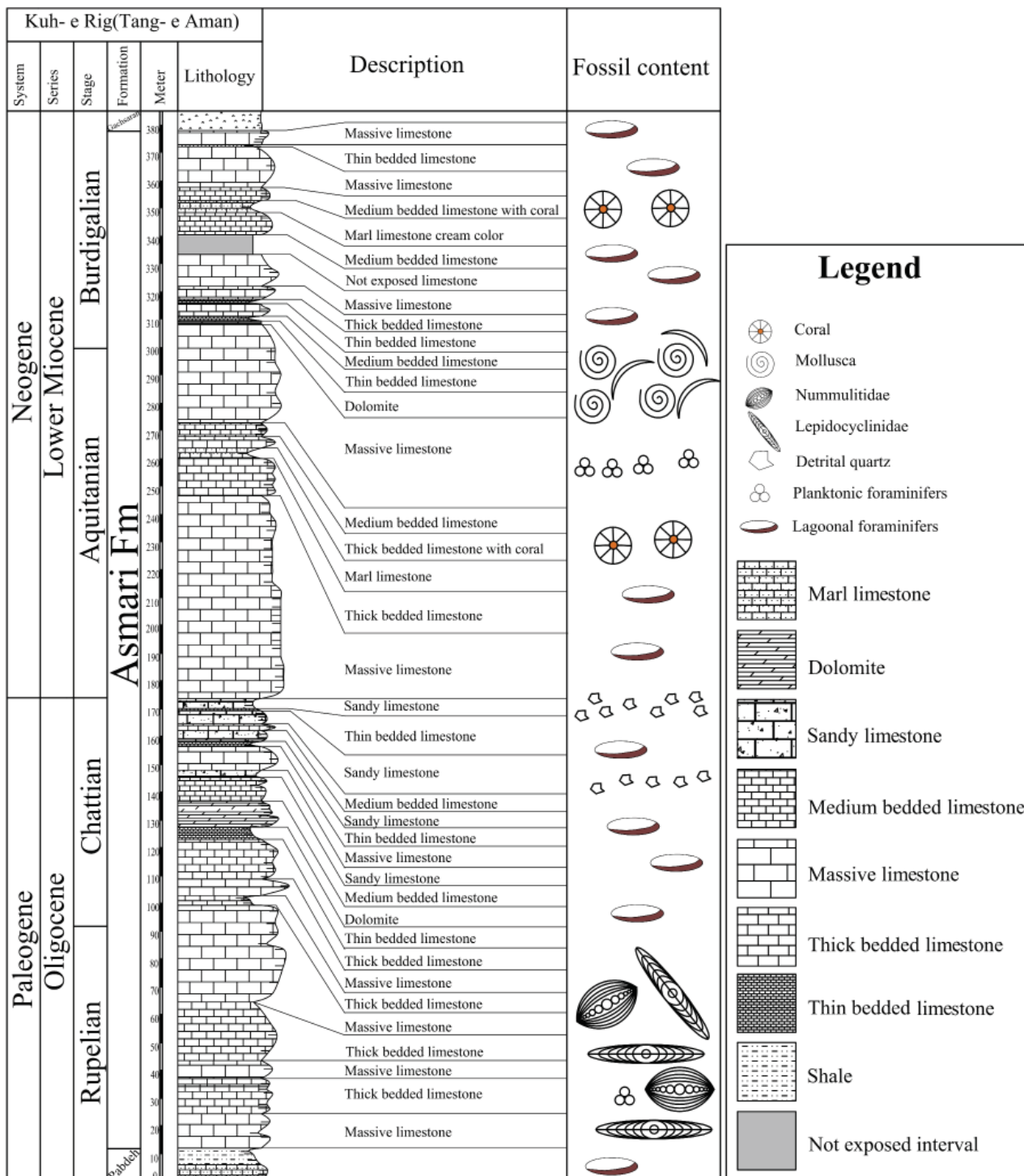
جایگاه زمین‌شناسی، چینه‌شناسی و موقعیت جغرافیایی منطقه مورد مطالعه

زون ایذه قسمتی از کمربند چین خورده رورانده زاگرس است که از شمال به حد جنوبی زون روراندگی-ها، در جنوب به حد شمالی فروافتادگی دزفول، در شرق به گسل کازرون و از غرب به گسله عامل خمس بالارود محدود می‌باشد (مطیعی، ۱۳۷۴). برش مورد مطالعه در جنوب استان چهارمحال و بختیاری و در شمال‌شرقی زون ایذه با روند شمال-غربی-جنوب‌شرقی قرار گرفته است. این برش در محدوده جغرافیایی "۳۱° ۱۴' ۳۲" و "۵۱° ۰' ۲۲" طول شرقی واقع شده است (شکل ۱).

توالی چینه‌شناسی از قاعده تا رأس سازند آسماری در این برش شامل ۳۶۷ متر آهک‌های نازک لایه، متوسط لایه، ضخیم



شکل ۱. موقعیت جغرافیایی و راههای دسترسی به برش مورد مطالعه. محل برش با علامت ستاره مشخص شده است.



شکل ۲. ستون چینه‌شناسی سازند آسماری در برش مورد مطالعه.

حسب درصد و عناصر فرعی (Na, Mn, Fe, Sr) بر حسب ppm اندازه‌گیری شده است.

فرایندهای دیاژنزی

مهم‌ترین فرایندهای دیاژنزی که سنگ‌های آهکی سازند آسماری را در برش مورد مطالعه تحت تأثیر قرار داده‌اند، شامل

جهت بررسی‌های ژئوشیمیایی، پودر ۳۰ نمونه میکرایتی که جهت آنالیز ژئوشیمیایی معتبرتند.(Asmerom et al., 1991; Adabi, 2009) از سنگ آهک‌های سازند آسماری با دستگاه جذب اتمی (AAS) در آزمایشگاه ژئوشیمی دانشکده علوم زمین دانشگاه شهید بهشتی برای تعیین عناصر اصلی و فرعی مورد آزمایش قرار گرفتند. گستره مقادیر عناصر اصلی (Mg و Ca) بر

است (شکل H-۳).

دولومیتی شدن: دولومیت نوع اول (دولومیکرایت) فراوانترین نوع دولومیت مشاهده شده در برش مورد مطالعه است (شکل A-۴). این دولومیتها تقریباً همزمان با رسوبگذاری بوده و در اثر جانشینی کلسیت با منیزیم بالا و نیز سایر نهشته‌های پهنه‌های کشنده تشکیل می‌شوند (Adabi, 2009). فابریک و اندازه خیلی ریز بلورها وجود ذرات پراکنده کوارتز در حد سیلت در این دولومیت‌ها تأییدی بر این موضوع است. دولومیت نوع دوم (دولومیکرواسپارایت) در درجه دوم فراوانی قرار دارد (شکل B-۴). در این نوع دولومیت، رومبئوئدرهای شکل دار دولومیت با اندازه ۱۰ تا ۲۲۰ میکرون در بین ماتریکس گل آهکی شناورند (Adabi, 2009). دولومیکرواسپارایت معمولاً از جانشینی سنگ‌های آهکی و یا از تبلور دولومیکرایت‌ها به وجود می‌آیند و باعث کاهش میزان تخلخل می‌شوند (Adabi, 1996). گروه سوم دولواسپارایت با اندازه بلورهای بین ۷۰ تا ۲۶۰ میکرون است. دولومیت نوع سوم باعث تخریب بافت‌های رسوبی اولیه گردیده و در نتیجه شناسایی بافت‌های اولیه رسوبی مشکل است (شکل C-۴). این نوع دولومیت معمولاً از جانشینی سنگ‌های آهکی قبلی و یا از تبلور مجدد دولومیت‌های تشکیل شده اولیه حاصل شده است (Mazzullo, 1992; Adabi, 2009). گروه بعدی دولومیت نوع چهارم یا دولومیت درشت بلور حفره پرکن است. این نوع دولومیت از بلورهای درشت شفاف و اغلب شکل دار با مرزهای مسطح و با اندازه بلورهای بین ۲۰۰ تا ۵۰۰ میکرون تشکیل شده و به صورت سیمان فضاهای کوچک و بزرگ و شکستگی‌ها را پر نموده است که در نتیجه باعث کاهش تخلخل گردیده است (Adabi, 1996). دولومیت درشت بلور اسپاری پرکننده حفرات در شرایط دفنی کم عمق یعنی در مراحل آخر دیاژنر تشکیل می‌شود (Mazzullo, 1992). در برش مورد مطالعه این نوع دولومیت با بلورهای درشت و شفاف، و به ویژه در بین رگه‌ها مشاهده می‌شود (شکل D-۴).

انحال: انحال عمده‌ای در محیط‌های دیاژنیکی نزدیک سطح رخ می‌دهد اما ممکن است در طی تدفین عمیق نیز صورت گیرد (Tucker, 2001). انحال مهمترین فرایند دیاژنیکی است که موجب افزایش تخلخل و تراوایی می‌شود. انحال در کربنات‌های سازند آسماری موجب ایجاد نوع تخلخل شامل تخلخل قالبی، حفره‌ای، کانالی و تخلخل بین دانه‌ای توسعه یافته گردیده است. تخلخل قالبی به ویژه در رخساره‌های لagonی و نیز سدی در دانه‌هایی مانند گاستروپودها، مرجان‌ها، پلی‌پودها و نیز برخی از فرامینیفرها دیده می‌شود (شکل E-۴). تخلخل حفره‌ای در بیشتر رخساره‌ها به فراوانی قابل مشاهده است. تخلخل بین دانه‌ای توسعه یافته تنها در تعدادی از رخساره‌های مربوط به دریای باز مشاهده می‌شود (شکل F-۴).

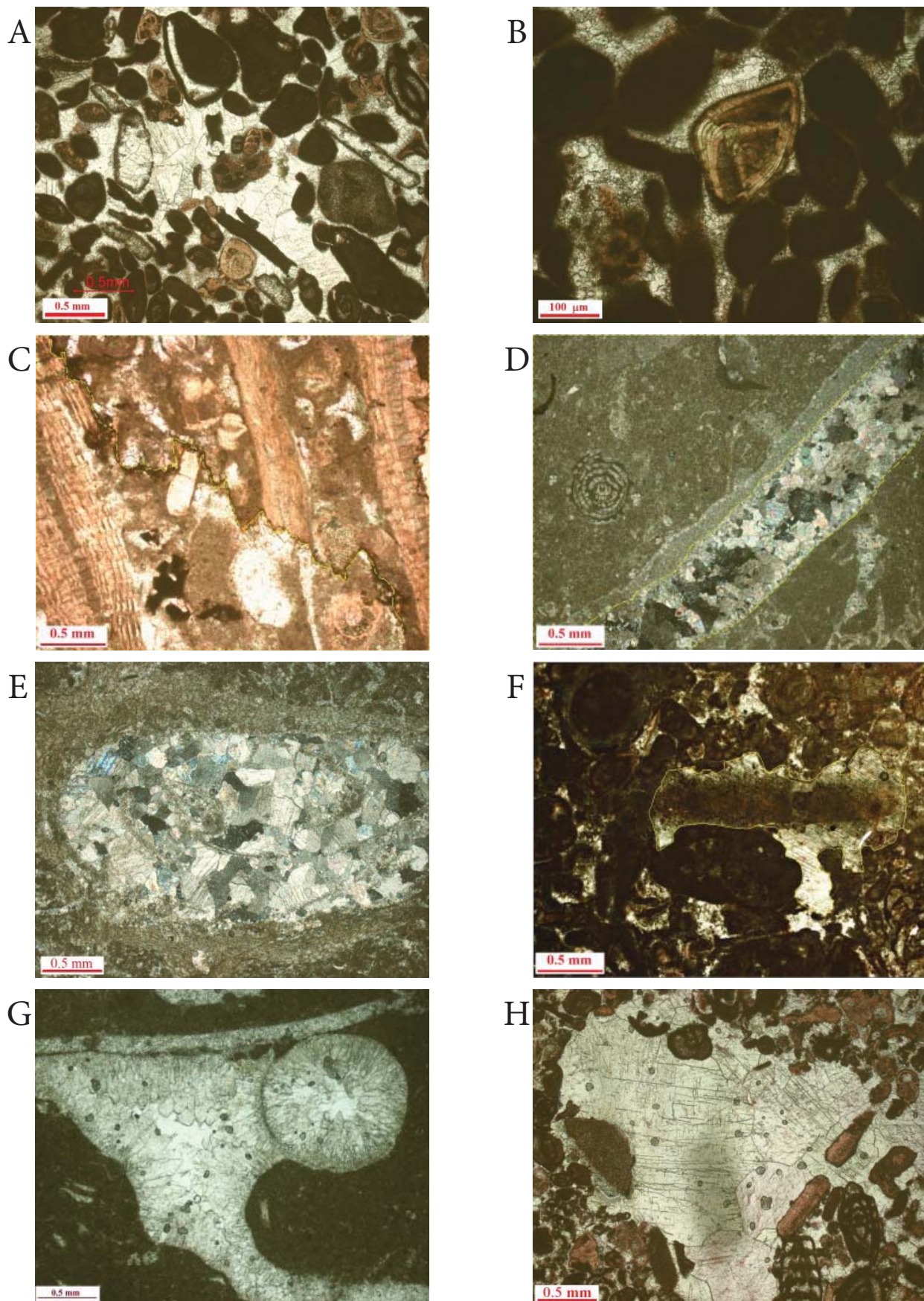
نئومورفیسم: نئومورفیسم در سنگ‌های آهکی عمده‌ای از نوع افزایشی می‌باشد که با افزایش اندازه بلور همراه است (Tucker, 2001). در طی فرایند دیاژنر، اجزاء تشکیل‌دهنده آرگونیتی یک

نئومورفیسم، دولومیتی شدن، سیمانی شدن، میکراتی شدن، انحال، فشردگی و جانشینی می‌باشند.

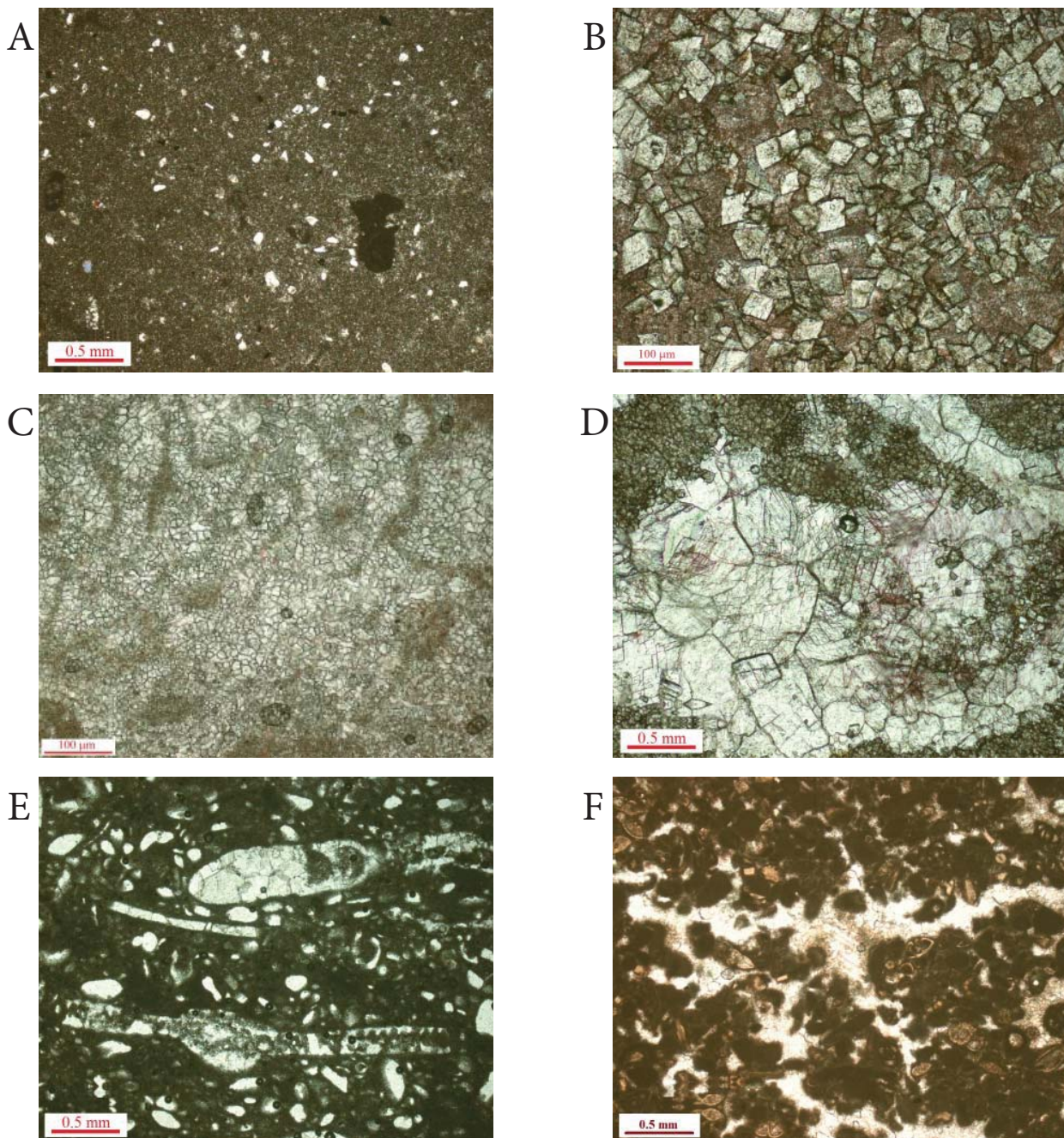
میکراتی شدن: در محیط‌های کم عمق دریایی، بعضی از جلبک‌های آبی - سبز غیراسکلتی به درون اجزاء اسکلتی دیگر موجودات نفوذ و آن را سوراخ می‌کنند. این سوراخ‌ها بعد از مرگ جلبک با میکراتی خرددهای صدف می‌توانند به صورت کامل توسط میکراتی جایگزین شوند. این فرایند را میکراتی شدن و جانشینی حاشیه صدف توسط میکراتی را پوشش میکراتی می‌نامند (Bathurst, 1966).

میکراتی شدن: در این برش از سازند آسماری به ویژه در رخساره‌های گرینستونی در بخش‌های سدی مشاهده شده است. اگر چه میکراتی شدن موجب کاهش تراوایی می‌شود اما در مقابل انحال نسبتاً مقاوم بوده و دانه‌ها را از تراکم شیمیایی و مکانیکی در طول دیاژنر تدفینی محافظت می‌کنند (Jor- dan and Abdullah, 1988) (شکل A-۳).

سیمانی شدن: سیمان‌هایی که در برش مورد مطالعه دیده شده‌اند، شامل سیمان کلسیتی با فابریک تیغه‌ای، شعاعی، دروزی، بلوکی، سین‌تکسیال، فیری هم‌محور و پویکیلوتاپیک است. سیمان تیغه‌ای اولین نسل سیمان بوده که فضای داخلی حجره‌های فسیلی را می‌پوشاند (شکل B-۳). سیمان شعاعی وابسته به رخساره بوده و در رخساره گرینستون با یوکلستی مشاهده می‌شود (شکل C-۳). سیمان دروزی در داخل رگه‌ها و همچنین حفرات انحالی و تخلخل‌های قالبی دیده می‌شود به صورتی که اندازه بلورها از حاشیه حفرات به سمت مرکز حفره افزایش می‌یابد (شکل D-۳). سیمان بلوکی عمده‌ای فضای بین دانه‌ها و گاه درزه و شکاف‌ها را پر کرده است (شکل E-۳). سیمان بلوکی علاوه بر محیط‌های متاوریکی در محیط‌های تدفینی نیز تشکیل می‌شود (Flugel, 2010). این سیمان به همراه سیمان دروزی با تشکیل در تخلخل‌های اولیه و ثانویه موجب کاهش تخلخل مفید و در نتیجه کاهش کیفیت مخزنی در این سازند شده است. سیمان سین‌تکسیال بر روی پوسته‌های اکینودرم تشکیل شده است این نوع سیمان محدود به محیط خاصی نبوده و گسترش آن در رخساره‌هایی که دارای خرددهای اکینودرم است بهوضوح قابل مشاهده است (شکل F-۳). سیمان فیری هم-محور در محیط‌های دریایی فریاتیک و وادوز و نیز در محیط وادوز تشکیل می‌شود (Flugel, 2010). این سیمان در سازند آسماری در رخساره گاستروپود وکستون، درون تخلخل‌های قالبی ناشی از انحال پوسته آراغونیتی گاستروپودها و عمود بر آن‌ها به سمت درون حفرات توسعه پیدا کرده است (شکل G-۳). سیمان پویکیلوتاپیک در رخساره گرینستونی پشت سد دیده می‌شود و به صورت بلورهای درشت اجزاء اسکلتی و غیراسکلتی را در بر گرفته است. این نوع سیمان طی دیاژنر تدفینی فضای خالی باقی مانده از دیاژنر اولیه را پر کرده است (Jiemin et al., 2011) و در نتیجه موجب کاهش کیفیت مخزنی در برش مورد مطالعه شده



شکل ۳. تصاویر میکروسکوپی فرایندهای دیازنتیکی سازند آسماری. (A) میکراتی شدن، (B) سیمان تیغه‌ای، (C) سیمان شعاعی، (D) سیمان دروزی، (E) سیمان بلوكی، (F) سیمان سین تکسیال، (G) سیمان فیبری هم محور، (H) سیمان پویکیلوتاپیک.



شکل ۴. تصاویر میکروسکوپی فرایندهای دیاژنیکی سازند آسماری. (A) دولومیت نوع اول، (B) دولومیت نوع دوم، (C) دولومیت نوع سوم، (D) دولومیت نوع چهارم، (E) تخلخل بین دانه‌ای توسعه یافته، (F) تخلخل قالبی،

تماس محدب - مقعر و مضرس (میکرواستیلولیت) بین دانه‌ها و نیز استیلولیتی شدن نمایان شده است. استیلولیت‌ها که توسط دمای تدفین، فشار آب‌های منفذی و ترکیب شیمیایی آب‌های منفذی است (Flügel, 2010). اثرات فشردگی مکانیکی به دلیل گلپشتیبان بودن بیشتر نمونه‌های سازند آسماری در برش مورد مطالعه چندان مشخص نیست ولی در برخی موارد که دانه‌ها در مجاورت یکدیگر قرار گرفته‌اند، فشردگی مکانیکی منجر به خمیدگی و نیز شکستگی آن‌ها شده است. افزایش عمق تدفین منجر به ایجاد تراکم شیمیایی می‌شود که در این برش به صورت تماس محدب - مقعر و مضرس (میکرواستیلولیت) بین دانه‌ها و نیز استیلولیتی شدن نمایان شده است. استیلولیت‌ها که توسط

سنگ آهک ممکن است بدون این که تخلخل زیادی در سنگ به وجود آید، به کلسیت تبدیل شود.

این فرایند در تعدادی از نمونه‌های نازک میکروسکوپی سازند آسماری به طور چشمگیر مشاهده می‌شود که طی آن میکراتیت به طور موضعی به ریزاسپار و شبیه اسپار تبدیل شده است. شایان ذکر است فرایند نئومورفیسم تغییر چندانی در میزان تخلخل مفید سنگ ایجاد نکرده است.

فشردگی: این فرایند به دو صورت مکانیکی و شیمیایی عمل می‌کند مهم‌ترین فاکتورهای موثر بر تراکم شمل عمق تدفین،

در چهار محیط رسوبی در توالی الیگو- میوسن سازند آسماری شامل دریایی باز، سد بایوکلستی، لاغون و پهنه جزر و مدي نهشته شده‌اند. این ریزرساره‌ها به ترتیب از بخش کم عمق به سمت بخش عمیق حوضه در جدول ۲ معرفی شده‌اند.

مدل رسوبی

آنالیز رخساره‌ها به ما اجازه تفسیر محیط‌های کربناته دریایی مجزا شامل چهار محیط رسوبی در توالی الیگو - میوسن شامل دریایی باز، سد بایوکلستی، لاغون و پهنه جزر و مدي را در برش مورد مطالعه می‌دهد. این چهار محیط متشكل از ۱۲ ریز رخساره از حوضه تا خشکی شامل ۳ رخساره دریایی باز، ۳ رخساره سدی، ۱ رخساره لاغون باز، ۳ رخساره لاغون محدود شده و ۲ رخساره پهنه جزر و مدي می‌باشد.

بر اساس میکروفاسیس‌های مورد بحث، چینه شناسی و آنالیز رسوبی، روند کم عمق شدن تدریجی از حوضه به سمت پلاتفرم کم عمق، عدم حضور آنکوئیدها، پیزوئیدها و دانه‌های اگرگات که خاص شلف کربناته بوده و یا به ندرت در رمپ‌های کربناته یافت می‌شوند (Flügel, 2010) و نیز عدم حضور رخساره‌های ریزشی و لغزشی، محیط کربناته رمپ هموکلینال را برای نهشته‌های سازند آسماری در منطقه مورد مطالعه پیشنهاد می‌شود (شکل ۵).

تعیین کانی‌شناسی اولیه کربناتهای سازند آسماری
مطالعه ترکیب کانی‌شناسی اولیه کربناتهای در طی فانروزوئیک توسط محققان بسیاری مورد بحث و بررسی قرار گرفته است

اکسید آهن و مواد نامحلول پر شده‌اند، به موازات یکدیگر و به صورت لا یابندی قرار دارند و دارای فراوانی متوسط در این برش هستند.

توالی دیاژنتیکی

فرایندهای دیاژنتیکی شناسایی شده در سنگ آهک‌های سازند آسماری حاکی از آن است که این فرایندها در سه محیط اصلی دریایی، تدفینی و متاآوریکی به وقوع پیوسته‌اند. بررسی‌های انجام شده نشان می‌دهد که بیشتر فرایندهای دیاژنزی از جمله فابریک اغلب تخلخل‌های ایجاد شده، بیشتر انواع سیمان‌های موجود (نظیر انواع سیمان‌های دولومیتی، بلوکی و پویکیلوتاپیک) و فرایندهای اصلی دیاژنسی (نظیر انحلال دانه‌های اسکلتی کلسیتی، فرایند فشردگی که در تعدادی از رخساره‌ها منجر به استیلولیتی شدن شده است و فرایند دولومیتی شدن که منجر به ایجاد انواع دولومیت‌ها شده است) که ذکر آنها گذشت در طی دیاژنز تدفینی و نیز دیاژنز جوی در طی مرحله بالا‌آمدگی و قرار گرفتن در محیط جوی حاصل شده‌اند. انواع فرایندهای دیاژنسی و روند تغییرات پیشنهادی برای آن‌ها در برش مورد مطالعه از سازند آسماری در جدول ۱ نشان داده شده است.

ریزرساره‌ها و محیط رسوبی

براساس مطالعه سنگ‌نگاری بافت‌ها، آلومک‌ها و اجزاء اسکلتی موجود در مقاطع نازک سازند آسماری در منطقه مورد مطالعه، ۱۲ ریزرساره کربناته شناسایی شده است. این ریزرساره‌ها

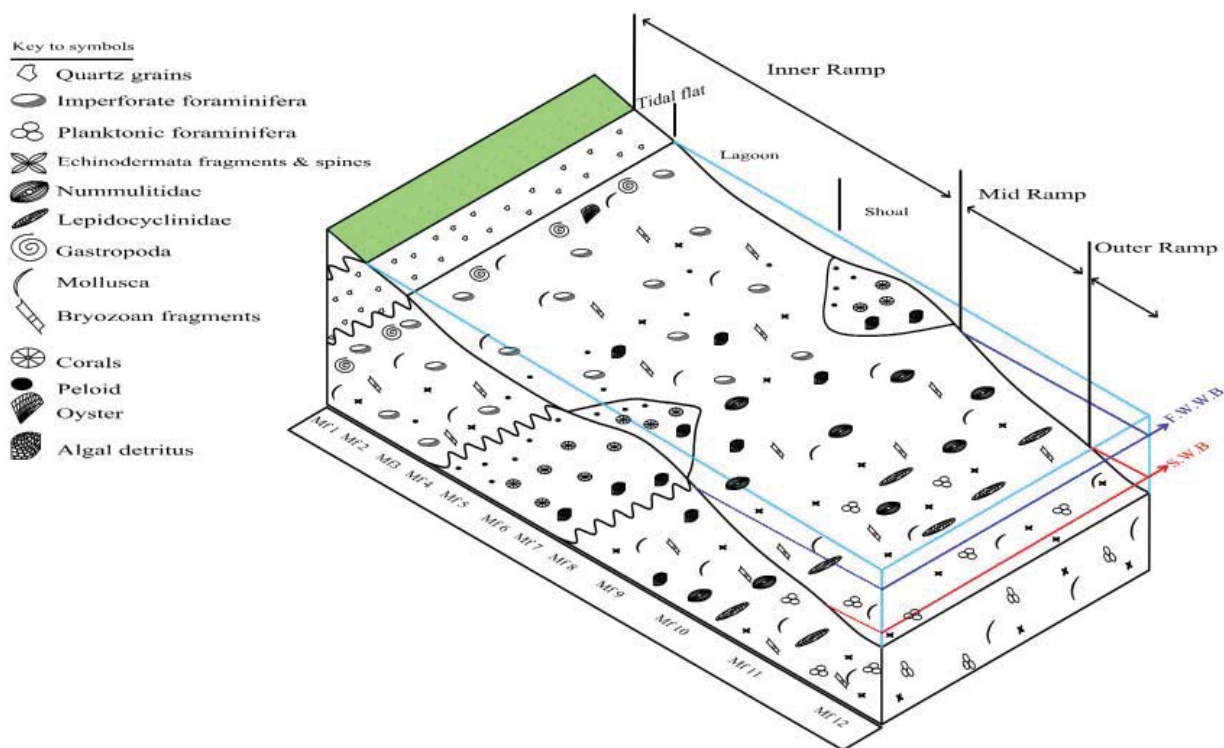
جدول ۱. توالی پاراژنتیکی سازند آسماری در برش کوه ریگ.

Events	Early Diagenesis	Late Diagenesis
Micritization & Micrite Rims	—	
Dissolution	Aragonite	Calcite(Bioclast)
Compaction	Physical	Chemical compaction (Stylolites)
Calcite Cementation	Marine	Syntaxial/ Drusy
Neomorphism		Blocky/ poikilotopic
Replacement	Sabkha/ Supratidal	Dolomite cement
	—	
	—	

جدول ۲. رخساره‌های سازند آسماری در برش کوه ریگ.

رخساره‌ها	مشخصات	تفسیر
مادستون با تخلخل چشم پرنده‌ای	از گل‌سنگ آهکی - دولومیتی ریز دانه و میکروکریستالین تشکیل شده، فاقد هر گونه آلومینی است و ساختمان‌های فنترال به خوبی در آن توسعه یافته‌اند. اثری از تبخیری‌ها و یا قالب آن‌ها در این رخساره دیده نمی‌شود.	طبیعت ریزدانه و عدم وجود هر نوع فونا و بایوکلستی نشان دهنده نهشت این رخساره در محیط پهنه جزر و مدی است. همچنین توسعه ساختمان‌های فنترال و چشم پرنده‌ای شاخص زون پهنه جزر و مدی است (Shinn et al., 1965; Ginsburg and Hardie, 1975; Adabi (and Asadi Mehandost, 2008).
مادستون با دانه‌های پراکنده کوارتز	این رخساره شامل گل‌سنگ آهکی-دولومیتی با دانه‌های پراکنده و ریز کوارتز تخریبی در اندازه سیلت تا ماسه، به میزان ۵ درصد است. آثار آشفتگی زیستی به ندرت در آن دیده می‌شود. در این رخساره هیچ گونه شواهدی مبنی بر قرار گرفتن در معرض هوا وجود ندارد.	ارتباط عمودی با رخساره‌های لاغونی، نبود فوناها، بافت غنی از گل و نبود شواهد قرار گرفتن در معرض هوا در این رخساره نشان دهنده محیط رسوبی بخش پایینی زیرمحیط ایستر تایdal است (Vaziri- Moghaddam et al., 2010; Adabi et al., 2010).
وکستون- پکستون دارای گاستروپود فرامینیفر کفزی و اویستر	فیل کامل گاستروپود، دوکفه‌ای و نرم‌تنان اجزاء اصلی تشکیل دهنده این رخساره هستند. دیگر اجزاء تشکیل دهنده که به صورت فرعی حضور دارند شامل بریوزوا، اکینودرم، کلاولولینا و تکستولارید می‌باشند.	در محیط‌های پرتنش، گاستروپودها می‌توانند اصلی‌ترین تشکیل دهنگان رسوبات باشند (Scholle and Scholle, 2003). این ریز رخساره نشان دهنده بخش‌های داخلی و دارای چرخش محدود آب پلاتفرم داخلی کربناته مربوط به قسمت انتهایی محیط لاغون و زون یوفوتیک است.
وکستون- پکستون دارای میلیولید، بورلیس و بایوکلست	مهمنترین اجزاء تشکیل دهنده این رخساره از فرامینیفرهای پورسلانوز بدون منفذ با تنوع پایین نشان دهنده محیطی با شوری بالا است. این رخساره در یک لاغون بسته و در مجاورت پهنه جزر و مدی نهشته شده است.	مشخصات بافتی و واقع شدن تعداد زیادی از فرامینیفرهای پورسلانوز بدون منفذ با تنوع پایین نشان دهنده محیطی با شوری بالا است. این رخساره شامل مثانдрپسینا، آرکیاس و دندریتینا هستند.
وکستون - پکستون با فرامینیفرهای بدون منفذ و بایوکلست	اجزاء غالب این رخساره، فرامینیفرهای بتیک با دیواره بدون منفذ شامل آرکیاس پنروپلیس، دندریتینا مثاندرپسینا، بورلیس و میلیولید هستند. دیگر اجزاء که به صورت فرعی حضور دارند شامل کلاولولینا، پلویید، بیژنرینا، تکستولاریا و الفیدیوم هستند.	این رخساره در یک محیط لاغونی بسته نهشته شده است. شرایط محدود شده و بسته توسط کم بودن یا حتی نبودن باiotاهای نرمال دریایی و فراوانی اجزاء اسکلتی باiotاهای محیط‌های محدود پیشنهاد می‌شود.
وکستون - پکستون با فرامینیفرهای منفذدار و بایوکلست	اجزاء اصلی این رخساره فرامینیفرهای منفذدار و بدون منفذ هستند. فرامینیفرهای منفذدار معمول در این رخساره شامل نومولیت‌های با اندازه بزرگ تا متوسط، روتالیا، آمفیستزینا، آمونیا، الفیدیوم و میوژپسینا هستند. فرامینیفرهای بدون منفذ شامل میلیولید، بورلیس، دندریتینا، آستروتریلینا و مثاندرپسینا هستند.	همزیستی فرامینیفرهای بتیک منفذدار و بدون منفذ و نیز وضعیت چینه‌شناسی قرار گرفتن در بالای رخساره‌های لاغونی نشان دهنده نهشت این رخساره در یک لاغون باز با چرخش نرمال Pomar آب دریا و آبهای با اکسیژن می‌باشد (Romero et al., 2001; Romero et al., 2002; Renema, 2006).

رخساره‌ها	مشخصات	تفسیر
گرینستون دارای پلویید و بایوکلست	پلوئیدها بیش از ۳۰ درصد این رخساره را تشکیل می‌دهند. فرامینیفرهای منفذدار و بدون منفذ از دیگر تشکیل دهنده‌گان اصلی این رخساره هستند.	وجود پلوئیدها به مقدار زیاد، فرامینیفرهای موجود در این رخساره، بافت گرینستون و نیز جورشدگی و بافت دانه‌ها مؤید محیطی با انرژی بالا برای این رخساره است. پس با توجه به فراوانی پلوئیدها و وجود فسیلهای قابل تشخیص، این رخساره در محیط سدی و حاشیه لاغونی نهشته شده است (Flugel 2010; Khatibi Mehr and Adabi 2013).
باندستون مرجانی	این رخساره توسط غلبه کلني‌های مرجان اسکلراکتین که به صورت سالم و غالباً بر جا می‌باشند، مشخص می‌شود.	این رخساره به وسیله ارگانیسم‌های بر جا به صورت یک ریف ارگانیکی در حاشیه پلاتiform و به صورت محلی بالاتر از سطح قاعده امواج معمولی تشکیل شده است (Wilson, 1975).
وکستون - پکستون دارای کورالیناسه آ، کورال و بایوکلست	این رخساره توسط فراوانی مرجان و کورالیناسه آ مشخص می‌شود. بایوکلست‌های موجود در این رخساره شامل خردنه‌های اکینوئید، بریوزوا، دیسکوربیس، روتالیا و نرم‌تنان هستند.	این رخساره به محیط سدی، حاشیه دریایی باز نسبت داده می‌شود. این امر توسط اندازه میلی‌متری واریزه‌های مشتق شده از ذرات ریف به خصوص جلبک قرمز و مرجان تایید می‌شود.
وکستون - پکستون دارای اپرکولینا و بایوکلست	اپرکولینا و هتروسترشینا فراوانترین اجزاء بیوژنیکی این رخساره هستند. دیگر بایوکلست‌های موجود در این رخساره شامل فرامینیفرهای پلانکتون، توبوسلازیا و خردنه‌ای اکینوئید می‌باشند.	حضور فرامینیفرهای پلانکتونیک به مقدار بسیار کم و اپرکولیناهای بزرگ و کشیده نشان‌دهنده رسوبگذاری در آب‌های نسبتاً عمیق و در شرایط زون الیگوفوتیک است (Geel, 2000; Romero et al., 2002; Bassi et al., 2007).
پکستون دارای لپیدوسیکلینا، نومولیتید و بایوکلست	فوناهای اصلی تشکیل دهنده این رخساره، فرامینیفرهای بتیک، کشیده و بزرگ شامل نومولیتیدها و لپیدوسیکلینیدها هستند.	ترکیب ماتریکس میکرایتی و فراوانی فوناهای اسکلتی شاخص دریایی باز شامل نومولیتیدها و لپیدوسیکلینیدهای بزرگ و کشیده، اکینودرم و بریوزوا نشان‌دهنده نهشت این رخساره در یک محیط دریایی باز با انرژی کم تا متوسط و بین قاعده امواج طوفانی و امواج معمولی است (Wilson, 1975; Flugel, 2010; Khatibi and Adabi, 2013).
مادستون - وکستون با فرامینیفرهای پلانکتونیک	دانه‌های اسکلتی غالب در این رخساره، فرامینیفرهای پلانکتونیک (گلوبیژرینا) هستند. اجزاء اسکلتی کمتر معمول شامل بایوکلست‌های مشتق شده از اکینوئید و پوسته‌های دوکفه‌ای است.	میزان بالای میکرایت، ریزدانه بودن و حضور فرامینیفرهای پلانکتونیک منعکس‌کننده محیطی با آشفتگی نسبتاً کم، انرژی هیدرودینامیکی آرام و آب‌های عمیق با شوری نرمال، در رمپ خارجی و به سمت حوضه برای این رخساره است (Wilson, 1975; Cosovic et al., 2004; Flugel, 2010).



شکل ۵. موقعیت رخساره‌ها و مدل رسویی پیشنهادی برای رسوبگذاری سازند آسماری در برش کوه ریگ.

کربنات‌های آب گرم ساب تروپیکال بوده است (آدابی، ۱۳۹۰). در این پژوهش از شواهد پتروگرافی و عنصری برای مقایسه این اطلاعات با آراغونیت‌های آب گرم عهد حاضر، کربنات‌های کلسیتی معتمله آب سرد، کربنات‌های ساب تروپیکال اردویسین با مینرالوژی اولیه آراغونیتی، کربنات‌های کلسیتی آب سرد ساب پولار پرمین تاسمانیا و کربنات‌های ژوراسیک بالایی سازند مزدوران، آهک‌های آراغونیتی سازند ایلام و آهک‌های آراغونیتی سازند فهیلان برای شناسایی کانی شناسی اولیه کربنات‌ها استفاده شده است.

داده‌های ژئوشیمیایی

مقادیر حداکثر، حداقل و میانگین عناصر اصلی و فرعی در نمونه‌های کربناته سازند آسماری در برش کوه ریگ در جدول ۳ نشان داده شده است.

جدول ۳. مقادیر عناصر اصلی و فرعی در نمونه‌های سازند آسماری.

	Sr (ppm)	Na (ppm)	Mn (ppm)	Fe (ppm)	% Ca	% Mg	Sr/Na
Maximum	2110	610	130	1199	40	3.34	5.18
Minimum	322	237	16	166	33	0.008	1.5
Mean	1233	356	46.6	586	38.51	0.52	3.4

(برای مثال Sandberg, 1983; Wilkinson et al., 1985; Hardie, 1996; Dickson, 2004). این محققان بر این باورند که مینرالوژی کربنات‌های دیرینه ممکن است از رسوبات عهد حاضر متفاوت باشد. هر چند تعدادی دیگر از محققان پیشنهاد می‌کنند که فرضیه تغییر مینرالوژی اولیه کربنات‌ها در طی زمان نیاز به ارزیابی Bates and Brand, 1990; Rao, 1991; Morse et al., 1997; Adabi, 2004; Adabi and Asadi, 2008 در استرالیا (Rao, 1990)، کربنات‌های ژوراسیک بالایی (سازند مزدوران) در حوضه کپهداگ (Adabi and Rao, 1991)، سنگ آهک‌های سازند ایلام در منطقه تنگ رشید در زون ایذه به سن کرتاسه (Adabi and Asadi, 2008)، کربنات‌های سازند فهیلان به سن کرتاسه (Adabi et al., 2010) بر پایه شواهد پتروگرافی و ژئوشیمیایی نشان می‌دهد که آراغونیت، کانی غالب در این

می دهد که بیشتر نمونه ها در داخل و یا در نزدیکی محدوده های آر اگونیتی آب گرم نیمه استوایی سازند فهیان (Adabi et al., 2010)، سازند ایلام (Adabi and Asadi, 2008) و سنگ آهک آر اگونیتی گروه گوردون تاسمانیا (Rao, 1991) واقع می شوند (شکل ۷-۸).

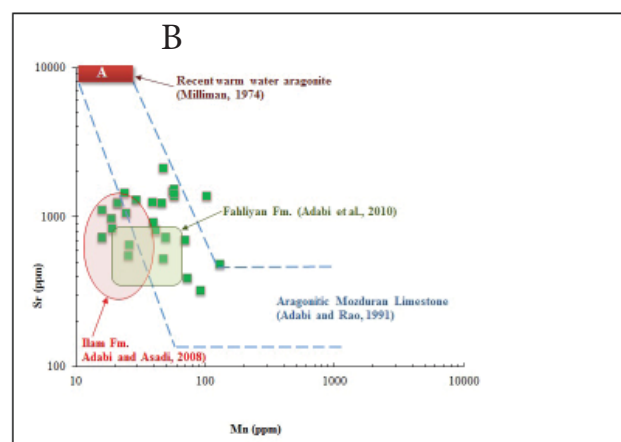
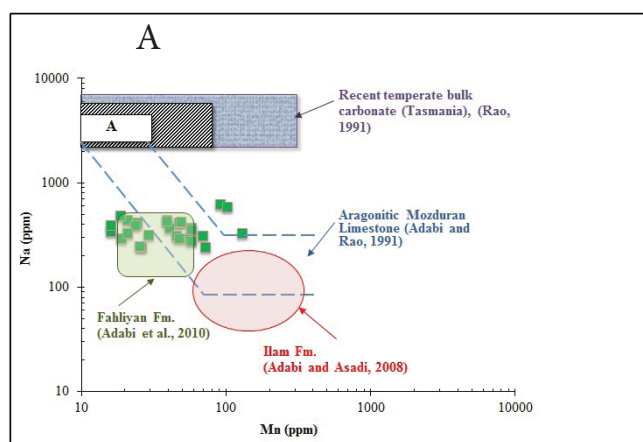
منگنز (Mn): در آر اگونیت های آب گرم عهد حاضر، تمرکز Mn و Fe کمتر از ۲۰ ppm (Milliman, 1974) و در رسوبات کلسیتی دریاهای کم عمق معتدل عهد حاضر حدود ۳۰۰ ppm می باشد (Rao and Adabi, 1992). ضریب توزیع Mn حدود ۱۵ بوده و در آب های متاثریکی تمرکز بالایی دارد (Rao, 1990). مقادیر Mn در نمونه های کربناته کوه ریگ دارای محدوده ای بین ۱۶ تا ۱۳۰ ppm (به طور میانگین ۴۶ ppm) می باشد. میزان Mn در این نمونه ها در مقایسه با نمونه های کربناته استوایی و معتدل عهد حاضر به دلیل تأثیر دگرسانی دیاژنتیکی توسط محلول های غیر دریایی است. ترسیم مقادیر استرانسیم و سدیم در مقابل منگنز نشان می دهد که تقریباً تمام نمونه ها در داخل و یا نزدیکی محدوده های سنگ آهک آر اگونیتی سازند مزدوران Adabi and Asadi Me- (Adabi and Rao, 1991)، سازند ایلام (Adabi et al., 2010) قرار (hmandost, 2008) و سازند فهیان (Adabi et al., 2010) تغییرات مقادیر Na، Sr، Mn و Mn در این نمونه ها می گیرند (شکل ۶). تأثیر دگرسانی دیاژنتیکی به دلیل جانشینی آر اگونیت توسط کلسیت طی دو مرحله ثبات دیاژنتیکی است (Adabi and Rao, 1991).

نسبت Sr/Na: کربناتهای حاره ای قدیمه و عهد حاضر از معادله های غیر حاره ای عهد حاضر آنها توسط محتوای Mn و Winefield et al., 1996; Adabi نسبت Sr/Na متمایز می شوند (Adabi and Asadi Mehmandost, 2008; Adabi et al., 2010; Khat- ibi and Adabi, 2013). رسوبات آر اگونیتی حاره ای عهد حاضر دارای Mn پایین و نسبت Sr/Na بالا به میزان ۳ تا ۵ (میانگین ۴)

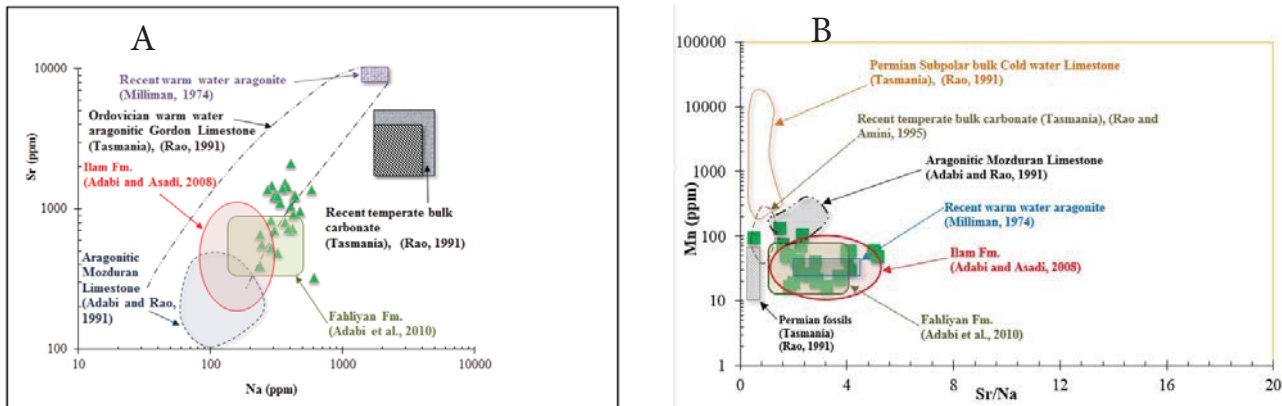
ژئوشیمی

استرانسیم (Sr): تمرکز Sr در نمونه های آر اگونیتی غیر زیستی استوایی عهد حاضر بین ۸۰۰۰ تا ۱۰۰۰۰ ppm است (Milliman, 1974) در حالی که محتوای Sr در کلسیت زیستی، بدون هر گونه دگرسانی دیاژنتیکی، ۱۰۰۰ ppm می باشد (Adabi and Rao, 1991) (and Rao, 1991). تمرکز Sr با افزایش میزان آر اگونیت (Adabi and Rao, 1991) و نیز با افزایش دمای آب (Morse and Mac- kenzie, 1990) افزایش می یابد. تمرکز Sr در نمونه های کربناته سازند آسماری در برش کوه ریگ محدوده ای بین ۲۱۱۰ تا ۲۱۱۰ ppm (به طور میانگین ۱۲۲۳ ppm) می باشد (جدول ۳). مقادیر Sr در این نمونه ها بسیار پایین تر از نمونه های کربناته مشابه عهد حاضر می باشد که می تواند به دلیل تأثیر فرایندهای دیاژنتیکی به ویژه دیاژنر متاثریکی باشد (Adabi and Rao, 1991). در شکل ۶ - A و B محدوده های کلسیتی و آر اگونیتی آب های دریایی عهد حاضر و دیرینه برای مقایسه ارائه گردیده است.

سدیم (Na): تمرکز Na در نمونه های آر اگونیتی غیر زیستی استوایی عهد حاضر بین ۱۵۰۰ تا ۲۷۰۰ ppm (میانگین ۲۵۰۰ ppm) در صورتی است (Veizer, 1983; Rao and Adabi, 1992) که محتوای Na در رسوبات کلسیتی معتدل عهد حاضر بالاتر از حد میانگین (تقریباً ۵۰۰۰ ppm) می باشد. تمرکز Na در رسوبات کربناته به شوری، تفریق جنبشی و بایولوژیکی، کانی شناسی و عمق آب بستگی دارد (Morrison and Brand, 1986; Rao and Adabi, 1992). آنالیز عناصر اصلی و فرعی نشان می دهد که میزان Na در نمونه های میکراتیتی سازند آسماری بین ۶۱۰ تا ۲۳۷ ppm (به طور میانگین ۳۵۶ ppm) در تغییر است. این میزان Na، پایین تر از معادله های کلسیتی و آر اگونیتی آب گرم عهد حاضر به دلیل تأثیر دگرسانی های دیاژنتیکی و به ویژه تأثیر آب های متاثریکی می باشد؛ چرا که ضریب توزیع Na از ۱ بوده و در این آب ها تمرکز پایینی دارد. ترسیم مقادیر Sr در مقابل Na نشان

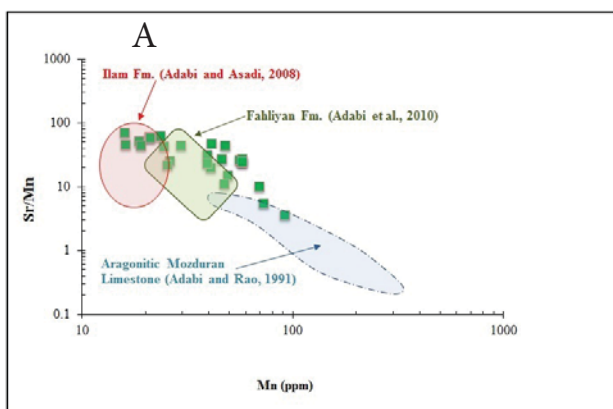


شکل ۶. ترسیم مقادیر Na و Sr در مقابل Mn. (A) ترسیم مقادیر Na در مقابل Mn در نمونه های کربناته سازند آسماری که با محدوده کربناتهای عهد حاضر مناطق حاره ای (Milliman, 1974)، کربناتهای عهد حاضر مناطق معتدل (تاسمانیا) (Rao, 1991)، کربناتهای ژوراسیک بالایی (سازند مزدوران) (Adabi and Rao, 1991)، سنگ آهک های سازند ایلام در زون ایذه به سن کرتاسه (Adabi and Asadi Mehmandost, 2008) و کربناتهای سازند فهیان به سن کرتاسه (Adabi et al., 2010) مقایسه گردیده است.



شکل ۷. (A) تغییرات Sr در مقابل Na ، نمونه‌های کربناته سازند آسماری با محدوده کربناتهای آراغونیتی آب گرم عهد حاضر (Milliman, 1974)، سنگ آهک آراغونیتی گروه گوردون اردویسین تاسمانیا (Rao, 1991)، کربناتهای آراغونیتی سازند مزدوران (Adabi and Rao, 1991) و سازند فهیلان (Adabi and Asadi, 2008) و سازند ایلام (Adabi and Asadi, 2008) مقایسه گردیده است. (B) تغییرات Mn در برابر Sr/Na در سنگ آهک‌های سازند آسماری که با محدوده کربناتهای عهد حاضر مناطق معتلده (Rao and Amini, 1995) کربناتهای آب سرد نیمه قطبی پرمین (تاسمانیا) (Rao, 1991)، کربناتهای آراغونیتی سازند مزدوران (Adabi and Rao, 1991)، سازند ایلام (Adabi and Rao, 1991)، سازند فهیلان (Adabi et al., 2010) و سنگ آهک‌های سازند فهیلان (Asadi Mehmandost, 2008) مقایسه گردیده است.

می‌یابد (Budd, 2002). تغییرات نسبت Sr/Mn در مقابل Mn به عنوان می‌داند که نمونه‌های کربناته سازند آسماری به دلیل مشابه ترکیب کانی شناسی در داخل و یا نزدیکی محدوده‌های آراغونیتی سازند مزدوران، فهیلان و ایلام قرار گرفته‌اند (شکل A-۸). تأثیر مشابه فرایندهای دیاژنیکی تحت شرایط احیایی منجر به افزایش مشابه میزان Mn در این نمونه‌ها شده است و به همین دلیل نمونه‌های کربناته سازند آسماری در داخل و یا نزدیکی محدوده‌های ذکر شده قرار گرفته‌اند. در شکل B-۸ بسته تا نیمه بسته بودن سیستم دیاژنیکی نشان داده شده است و تائیدی بر شکل A-۸ می‌باشد.



شکل ۸. (A) ترسیم مقادیر Sr/Mn در مقابل Mn در نمونه‌های کربناته سازند آسماری در برش کوه ریگ با محدوده‌های کربناتهای ژوراسیک بالای سازند مزدوران (Adabi and Rao, 1991)، سنگ آهک‌های سازند ایلام (Adabi and Asadi, 2008) و کربناتهای سازند فهیلان به سن کرتاسه (Adabi et al., 2010) مقایسه گردیده است. (B) ترسیم مقادیر Sr/Ca در مقابل Mn در مقابله Sr/Ca در مقابله Mn (ppm) به عنوان می‌داند که میزان انتقال Mn در سیستم محدوده روندهای دیاژنیکی آراغونیت (A)، کلسیت با منیزیم بالا (HMC)، و کلسیت کم منیزیم (LMC) که توسط برند و وایزر (Brand and Veizer, 1980) مشخص گردیده است، مقایسه شده است. در این شکل تقریباً تمام نمونه‌های کربناته سازند آسماری در محدوده آراغونیتی (A) با نسبت Sr/Ca بالا و میزان Mn تقریباً پایین قرار گرفته‌اند این حالت بیانگر تشکیل واحدی کربناته سازند آسماری در یک سیستم دیاژنیکی بسته تا نیمه بسته می‌باشد.

آهک‌های سازند آسماری دستخوش تأثیر فرایندهای دیاژنتیکی به ویژه متائوریکی قرار گرفته‌اند (شکل ۹).

شواهد پتروگرافی

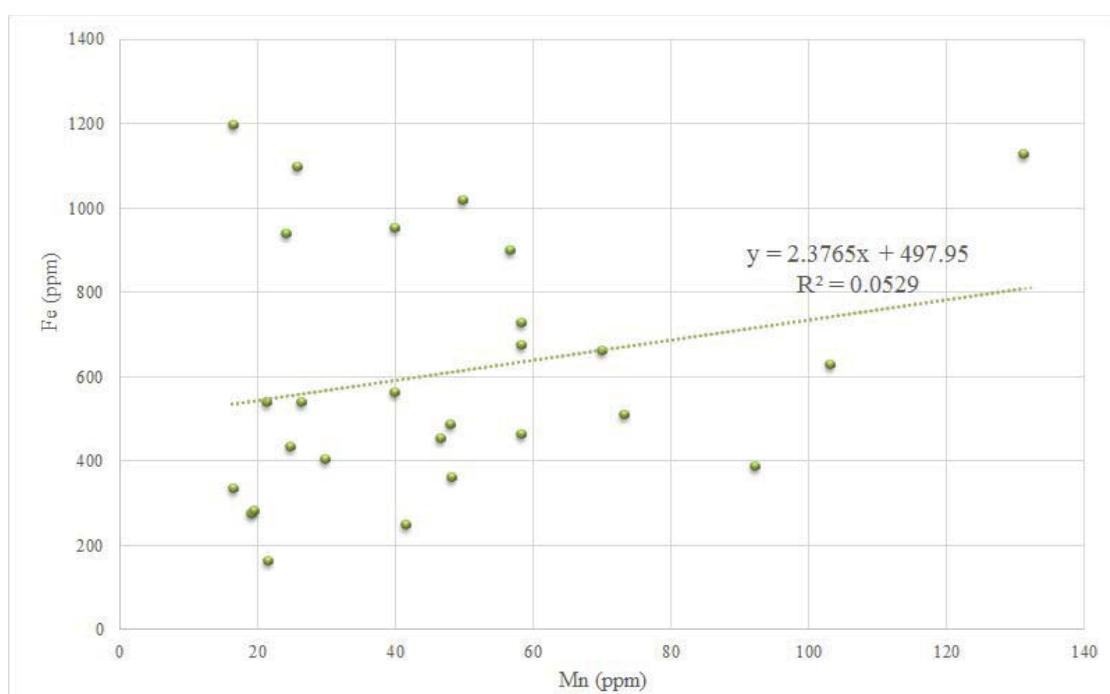
وجود دانه‌های اسکلتی متنوع، فراوانی پلوویدها، دولومیکرایت‌های هم‌زمان با رسوبگذاری و وجود مقداری ایتراکلست در سنگ آهک‌های سازند آسماری در برش مورد مطالعه، مشابه آب‌های دریایی گرم و کم عمق عهد حاضر می‌باشد (Lees, 1975). علاوه بر این، وجود تخلخل‌های قالبی که معمولاً بر اثر انحلال دانه‌های کربناته با ترکیب کانی‌شناسی آراغونیتی حاصل می‌شوند (Adabi and Rao, 1991) تأییدی بر کانی‌شناسی اولیه آراغونیتی در این کربنات‌ها محسوب می‌شود.

نتیجه‌گیری

- ۱) در سازند آسماری ۱۲ ریزرساره مربوط به چهار کمربند رساره‌ای پنهنه کشنیدی، لاگون، سد و دریایی باز شناسایی شده است. بر اساس ریزرساره‌ها، چینه‌شناسی و آنالیز رسوبی، عدم حضور پیزوتئیدها و آنکوئیدها، عدم حضور رساره‌های ریزشی و لغزشی و نیز فراوانی فرامینیفرهای بتیک بزرگ، یک محیط کربناته رمپ هموکلینان برای نهشته‌های کربناته سازند آسماری در منطقه مورد مطالعه پیشنهاد می‌شود.
- ۲) سیمانی شدن، دولومیتی شدن و انحلال، اصلی‌ترین فرایندهای دیاژنزی مؤثر بوده‌اند که بافت اولیه و تخلخل را در این سازند تحت تأثیر قرار داده‌اند.
- ۳) بیشترین نوع دیاژنز تأثیرگذار بر روی نمونه‌های کربناته

نسبت Sr/Ca: بر اساس نمودار نسبت Sr/Ca در مقابل Mn می‌توان روند دیاژنز در سیستم‌های باز و بسته را تعیین نمود (Veizer, 1983). در شکل ۸ محدوده‌هایی برای روندهای دیاژنتیکی آراغونیت (A)، کلسیت با منیزیم بالا (HMC) و کلسیت کم منیزیم (LMC) (Towles et al., 1980) مشخص شده است. در سیستم دیاژنزی باز، با افزایش نسبت تبادل آب و سنگ میزان Sr/Ca کاهش می‌یابد و در نتیجه نسبت Sr/Ca فازهای دیاژنسی کمتر از ترکیبات اولیه خواهد بود، اما در سیستم دیاژنسی نیمه بسته به دلیل کمتر بودن فعل و انفعالات آب به سنگ، نسبت Sr/Ca فازهای دیاژنسی تغییرات محسوسی نسبت به ترکیبات اولیه ندارد. بالا رفتن میزان Mn در کلسیت دیاژنتیکی نشان‌دهنده باز بودن سیستم و تأثیر آب‌های احیاء کننده می‌باشد (Cicero and Lohmann, 2001). حاکی از آن سازند آسماری، تغییرات مقادیر Sr/Ca و نیز Mn است که این نمونه‌ها تحت تأثیر دیاژنسی متائوریکی در یک محیط بسته تا نیمه بسته دیاژنتیکی قرار گرفته‌اند.

آهن (Fe): مقدار Fe در آراغونیت‌های مناطق حاره‌ای کمتر از ۲۰ ppm است (Milliman, 1974). تمرکز Fe در نمونه‌های کربناته سازند آسماری بین ۱۶۶ تا ۵۸۶ ppm (میانگین ۱۱۹۹ ppm) در تغییر است. میزان Fe ارتباط مستقیمی با مقادیر Mn دارد و با افزایش میزان Mn بر مقادیر Fe نیز افزوده می‌گردد. میزان Fe همانند Mn با افزایش شرایط احیایی، افزایش می‌یابد. شباهت تغییرات مقادیر Fe و Mn حاکی از منشاء یکسان این عنصر و شباهت نحوه ورود آن‌ها به شبکه کربنات‌ها می‌باشد (Vincent et al., 2006).



شکل ۹: ترسیم مقادیر Fe در مقابل Mn در نمونه‌های کربناته سازند آسماری. در این شکل تغییرات Fe در مقابل Mn یک روند خطی افزایشی و نسبتاً ملایم را نشان می‌دهد.

micrite chemistries. *Geologische Rundschau*, 79, 27-46.

- Bathurst, R.G.C., 1975. Carbonate Sediments and their Diagenesis. New York: Elsevier Science Publication Company.

- Bathurst, R.G.C., 1966. Boring algae, micrite envelopes and lithification of molluscan biosparites. *Geological Journal*, 5, 15-32.

- Brand, U. and Veizer, J., 1980. Chemical diagenesis of a multicomponent carbonate system -1: trace elements. *Journal of Sedimentary Petrology*, 50, 1219-1236.

- Budd, D., 2002. The relative roles of compaction and early cementation in the destruction of permeability in carbonate grainstones: a case study from the Paleogene of west-central Florida. *Journal of Sedimentary Research*, 72, 116-128.

- Cicero, A. and Lohmann, K.C., 2001. Sr/Mg variation during rock –water interaction: implication for secular changes in the elemental chemistry of ancient seawater. *Geochimica et Cosmochimica Acta*, 65, 741-761.

- Cosovic, V., Drobne, K. and Moro, A., 2004. Paleo-environmental model for Eocene foraminiferal limestones of the Adriatic carbonate platform (Istrian Peninsula). *Facies*, 50, 61-75.

- Dickson, J., 1965. Carbonate identification and genesis as revealed by staining. *Journal of Sedimentary Petrology*, 205, 491-505.

- Dickson, S., 2004. The arum Paris- continuum of mycorrhizal symbioses. New Phytologist article firs published online. *Plant Anaerobioses*, 163, 187-200.

- Dunham, R., 1962. Classification of carbonate rocks according to depositional texture. In: Classification of Carbonate Rocks. *Journal of American Association Petroleum Geology*, 1, 121.

- Ehrenberg, S.N., Pickard, N.A.H., Laursen, G.V., Monibi, S., Mossadegh, Z.K., Svånå, T.A., Aqrawi, A.A.M., McArthur, J.M. and Thirlwall, M.F., 2007. Strontium isotope stratigraphy of the Asmari Formation (Oligocene - Lower Miocene), SW Iran. *Journal of Petroleum Geology*, 30, 2, 107-128.

- Flügel, E., 2010. Microfacies Analysis of Limestones, Analysis Interpretation and Application. Springer-Verlag, 976.

- Geel, T., 2000. Recognition of stratigraphic sequences in carbonate platform and slope deposits: empirical models based on microfacies analysis of paleogene deposits in

سازند آسماری از نوع دیاژنر جوی بوده است.

۴) ترکیب کانی شناسی اولیه کربنات‌های سازند آسماری بر اساس روند تغییرات عناصر فرعی نظیر نسبت Sr/Na در مقابل Mn و Na در مقابل Mn و نیز شواهد پتروگرافیکی، به طور غالب آراغونیت بوده است.

۵) تغییرات نسبت Sr/Ca در مقابل Mn نشان می‌دهد که دگرسانی دیاژنیکی رخ داده بر روی این نهشته‌ها، در یک سیستم بسته تا نیمه بسته اتفاق افتاده است.

منابع

- آدابی، م.ح.، ۱۳۹۰. ژئوشیمی رسویی، انتشارات آرین زمین، چاپ دوم، ۵۰۳.
- مطیعی، م.، ۱۳۷۴. زمین‌شناسی ایران - چینه‌شناسی زاگرس. انتشارات سازمان زمین‌شناسی، ۵۵۶.

- Adabi, M.H. and Rao, C.P, 1991. Petrographic and geochemical evidence for original aragonitic mineralogy of the Upper Jurassic carbonates (Mozduran Formation), Sarakhs area, Iran. *Sedimentary Geology*, 72, 253-267.

- Adabi, M.H. and Asadi Mehandost, E. 2008. Microfacies and geochemistry of the Ilam Formation in the Tang-E Rashid area, Izeh, S.W. Iran. *Journal of Asian Earth Sciences*, 33, 267-277.

- Adabi, M.H., Salehi, M.A. and Ghabeishavi, A., 2010. Depositional environment, sequence stratigraphy and geochemistry of Lower Cretaceous carbonates (Fahliyan Formation), south-west Iran. *Journal of Asian Earth Sciences*, 39, 148–160.

- Adabi, M.H., 2004. A re-evaluation of aragonite versus calcite seas. *Carbonates and Evaporites*, 19, 133-141.

- Adabi, M.H., 2009. Multistage dolomitization of the Upper Jurassic Mozduran Formation, Kopeh dagh Basin, NE Iran. *Carbonates and Evaporites*, 24, 16-32.

- Adabi, M.H., 1996. Sedimentology and geochemistry of carbonates from Iran and Tasmania. Ph.D. Thesis, University of Tasmania, 470.

- Asmerom, Y., Jackson, S.B., Knoll, A.H., Butterfield, N.J., and Swett, K., 1991. Strontium isotopic variation of Neoproterozoic seawater: implication for crustal evolution. *Geochimica et Cosmochimica Acta*, 55, 2883-2894.

- Bassi, D., Hottinger, L. and Nebelsick, J.H., 2007. Larger Foraminifera from the Upper Oligocene of the Venetian area, northeast Italy. *Palaeontology*, 50, 845-868.

- Bates, N.R. and Brand, N., 1990. Secular variation of calcium carbonate mineralogy, an evaluation of ooid and

southeastern Spain. *Palaeogeography, Palaeoclimatology, Palaeoecology*, 155, 211–238.

- Ginsburg, R.N. and Hardie, L.A., 1975. Tidal and Storm Deposits Northwest-ern Andros Island, Bahamas. In: Ginsburg, R.N. (Ed.). *Tidal Deposits*. Springer – Verlag, Berlin, 201–208.

- Hardie, L.A., 1996. Secular variation in seawater chemistry: an explanation for the coupled secular variation in the mineralogies of marine limestone and potash evaporate over the past 600 m.y. *Geology*, 24, 279-283.

- Jiemin, Lu., Wilkinson, M. and Haszeldine, S., 2011. Carbonate cements in Miller field of the UK North Sea: a natural. *Environment Earth Science*, 18, 507–517.

- Jordan, C.F. and Abdullah, M.V., 1988. Arun field: a giant gas-condensate field producing from Miocene reef facies, North Sumatra Basin, Indonesia. *American Association of Petroleum Geologists Bulletin*, 72, 203.

- Khatibi Mehr, M. and Adabi, M.H., 2013. Microfacies and geochemical evidence for original aragonite mineralogy of a foraminifera-dominated carbonate ramp system in the late Paleocene to Middle Eocene, Alborz basin, Iran. *Carbonates and Evaporites*, 13, 127-148.

- Lees, A., 1975. Possible influence of salinity and temperature on modern shelf carbonate sedimentation. *Marine Geology*, 19, 159-198.

- Mazzullo, L., 1992. Geochemical and neomorphic alteration of dolomite: a review. *Carbonates and Evaporites*, 7, 21- 37.

- Millinian, J., 1974. *Marine Carbonates Recent Sedimentary Carbonates*, Part 1. Springer-Verlag, New York, 375.

- Morrison, J.O. and Brand, U., 1986. Geochemistry of recent marine invertebrates. *Geoscience Canada*, 13, 237-254.

- Morse, J.W., Mackenzie, F.T., 1990. *Geochemistry of Sedimentary Carbonates*. New York, Elsevier, 707.

- Morse, J.W., Wang, Q. and Tsio, M.Y., 1997. Influences of temperature and Mg/Ca ratio on CaCO₃ precipitates from sea water. *Geology*, 25, 85- 87.

- Pomar, L., 2001. Types of carbonate platforms: a genetic approach. *Basin Research*, 13, 313-334.

- Rao, C.P. and Adabi, M.H., 1992. Carbonate minerals, major and minor elements and oxygen and carbon isotopes and thier variation with water depth in cool, temperate catbonates, western, Tasmania. *Marine*

Geology, 103, 249-272.

- Rao, C., 1990. Petrography, trace elernents and oxygen and carbon isotopes ol Gordorr Group carbonate (Ordovician), Florentine Valley, Tasmania, Australia. *Sedimentary Geology*, 66, 83 97.

- Rao, C., 1991. Geochemical differences between sub-tropical (Ordovictan), temperate (Recent and Pleistocene) and subpolar (Permian) carbonates, Tasmania, Australia. *Carbonates and Evaporites*, 6, 83-106.

- Rao, C., 1996. Elemental composition of marine calcite from modern temperate shelf brachiopods, bryozoans and bulk carbonates, eastern Tasmania, Australia. *Carbonates and Evaporites*, 11, 1-18.

- Renema, W., 2006. Large benthic foraminifera from the deep photic zone of a mixed siliciclastic-carbonate. *Marine Micropaleontology*, 58, 73-82.

- Richardson, P., 1924. The geology and oil measures of southwest Persia. *Journal Institute Petroleum Technology*, 10, 256-283.

- Romero, J., Caus, E. and Rossel, J., 2002. A model for the palaeoenvironmental distribution of larger foraminifera based on Late Middle Eocene deposits on the margin of the south Pyrenean basin (SE Spain). *Palaeogeography, Palaeoclimatology, Palaeoecology*, 179, 43-56.

- Sandberg, P.A., 1983. An oscillating trend in Phanerozoic nonskeletal carbonate mineralogy. *Nature*. 305, 19-22.

- Shinn, E., Ginsburg, R.N. and Llyod, R.M., 1965. Recent supratidal dolomite from Andros Island, Bahamas. In Pray. *Paleontologists and Mineralogist*, 180.

- Scholle, P.A. and Scholle, D.S.U., 2006. A color Guide to the Petrography of Carbonate Rock: grain, texture, porosity, diagenesis. *American Association Petroleum Geology Bulletin*, 549.

- Tucker, M., 2001. *Sedimentary Petrology: an introduction to the origin of sedimentary rocks*. Blackwells, 272.

- Vaziri-Moghaddam, H., Seyrafian, A., Taheri, A., and Motiei, H., 2010. Oligocene-Miocene ramp system (Asmari Formation) in the NW of the Zagros basin, Iran: microfacies, paleoenvironment and depositional sequence. *Revista Mexicana de Ciencias Geologicas*, 27, 56-71.

- Veizer, J., 1983. Trace elements and isolopes in sedimentary carbonates. *Reviews in Mineralogy*, 11, 265-300.

- Vincent, B., Allan, T.L., Gaumet, F., Karimi, Z., Laursen, G.V., Lotfpour, M., Masse, P., Moallemi, S.A.,

Monibi, S., Tahmasbi, A.R., Van Buchen, F. and Verdenne, V., 2006. Quantitative stratigraphy in the Oligocene-early Miocene carbonate system in the Dezful Embayment (SW Iran). *GeoArabia*, 12, 12.

- Wilkinson, B.H., Owen, R.M. and Carroll, A. R., 1985. Submarine hydrothermal weathering, global eustasy and carbonate polymorphism in Phanerozoic marine oolites. *Journal of Sedimentary Petrology*, 55, 171-183.

- Wilson, J., 1975. Carbonate Facies in Geological history. Springer, 471.

- Winefield, P.R., Nelson C.S. and Hodder, A.P.W, 1996. Discriminating temperate carbonates and their diagenetic environments using bulk elemental geochemistry, a reconnaissance study based on New Zealand Cenozoic limestones. *Carbonates and Evaporites*, 11, 19-31.